

# Y对Cu-9Ni-6Sn合金分解速率 及性质的影响<sup>1)</sup>

邓忠民

(昆明贵金属研究所)

## 摘 要

用力学性能、电阻率、调幅波长、透射电镜等技术,研究了Y对Cu-9Ni-6Sn合金Spinodal分解动力学的影响。结果表明,Y能改善合金的Spinodal分解动力学,阻碍晶界析出物的长大;改善强度和塑性的配合。

关键词: Cu-9Ni-6Sn Spinodal分解 Y

关于Spinodal分解动力学已有不少报道。Cahn首先建立了经典的线性分解方程<sup>[1]</sup>。由于线性方程与实验不符, Tsakalos和Hilliard<sup>[2]</sup>发展了一个非线性方程。Langer<sup>[3]</sup>等也推导了一个包含溶质浓度、温度和时间三个变量的分解方程。

Cu-Ni-Sn是典型的Spinodal分解强化弹性合金,为了使其在工业中推广应用,国内外均进行了大量研究。本文则主要研究Y对Cu-9Ni-6Sn合金Spinodal分解动力学的影响,目的在于利用我国丰富的稀土资源来改善Cu-9Ni-6Sn合金的综合使用性能。

## 1 实验

### 1.1 材料制备

将Cu-9Ni-6Sn和Cu-9Ni-6Sn-0.3Y合金在真空感应炉的氧化铝坩埚内和0.1Pa真空与氩气保护下熔炼。铸锭做820℃,6h均匀化处理水淬,并随后冷锻、冷拉或冷轧成直径0.19mm的丝材或厚0.8mm及0.05mm的片材。中间退火温度为820℃。

### 1.2 力学、电学性能测试

丝材在820℃和木炭保护下固溶1h后水淬。取样在350℃时效不同时间,用FM3拉力试验机测试各样品的室温抗拉强度,用QJ19电桥测室温电阻系数。

### 1.3 X-射线衍射分析

0.8mm厚度的片材,在820℃和木炭保护下固溶2h后水淬,取样在350℃下时效不同时间。再在D/max-rc衍射仪上用CuK $\alpha$ 在50kV下进行衍射。

### 1.4 TEM观察

0.05mm厚的无Y和有Y合金样品,在820℃下固溶270min,分别时效10、60、300min。固溶和时效都在流动氢气下进行。用DWT702自动控制仪控制温度。薄膜试样用醋酸、硝酸和磷酸的混合液减薄后再穿孔,在TEM-2000EX透射电镜上观察显微组织。

## 2 结果

### 2.1 Y对合金力学性能、电阻率的影响

图1表示固溶和时效后Cu-9Ni-6Sn和

<sup>1)</sup> 于1991年10月23日收到

Cu-9Ni-6Sn-0.3Y合金的抗拉强度 $\sigma_b$ 和延伸率 $\delta$ 与时效时间的关系。由图可见,有Y合金的 $\sigma_b$ 、 $\sigma$ 比无Y合金的 $\sigma_b$ 、 $\sigma$ 高。实验中发现,Cu-9Ni-6Sn合金时效960min就发脆,而Cu-9Ni-6Sn-0.3Y合金时效相同时间并不发脆。图2表示电阻率与时间的关系,用正规方程组方法求得电阻率与时间的定量方程为

对Cu-9Ni-6Sn:

$$\rho = \rho_0 \exp(-0.0020291t) \quad (1)$$

对Cu-9Ni-6Sn-0.3Y:

$$\rho_t = \rho_0 \exp(-0.002542t) \quad (2)$$

式中 $\rho_0$ 是淬火样品的电阻率, $\mu\Omega\cdot\text{cm}$ ;  $t$ 是时效时间, min。

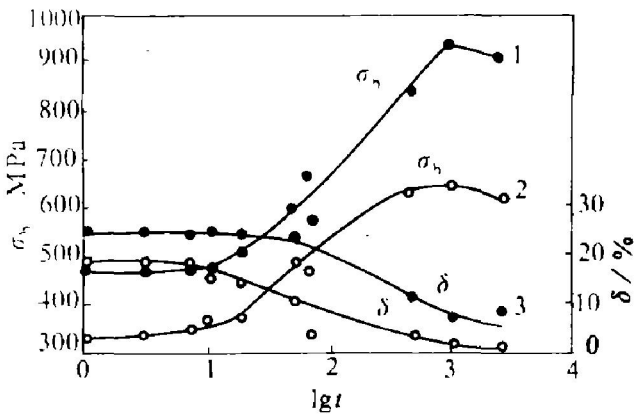


图1 抗拉强度( $\sigma_b$ )延伸率( $\delta$ )与时效时间( $t$ )的关系

1, 3—含Y合金; 2, 4—无Y合金

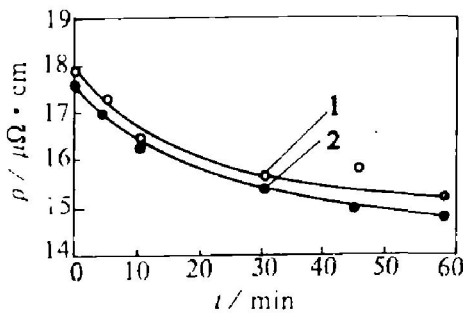


图2 电阻率( $\rho$ )与时间( $t$ )的关系

1—无Y合金; 2—有Y合金

### 2.2 Y对调幅波长的影响

由于Cu-Ni-Sn合金中锡的原子尺寸大,成分调幅产生一个点阵应变调幅。从这个应变调幅可观察到边带增大。由Danil-Lipsin公式得到调幅波长。波长与时效时间的关系见图

3,在350℃下时效大约60min左右发现调幅波长增长很快,但时效300min后波长增长较缓慢。含Y合金波长比无Y合金的大些。

### 2.3 时效显微结构的TEM观察

Cu-Ni-Sn系合金Spinodal分解的特征之一是固溶后时效过程中具有波纹状的调幅结构。有Y合金和无Y合金的TEM观察表明,时效10min样品的明场象已有较明显的条纹衬度,电子衍射没有出现第二相衍射斑点。时效60min,条纹衬度更明显,有第二相衍射斑点,但不很明显。时效300min在样品的明场象观察到粗化现象,而且含Y合金的粗化现象和第二相的衍射斑点更明显。从图4和图5来看,含Y合金的条纹衬度和第二相的衍射斑点比无Y合金也更为明显。这表明Y加速了Cu-9Ni-6Sn合金的调幅分解;无Y合金的整个晶界上都分布有析出物,而有Y合金晶界上的析出物较集中,且数量较少。

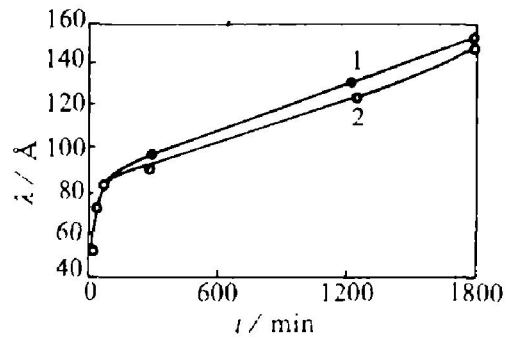


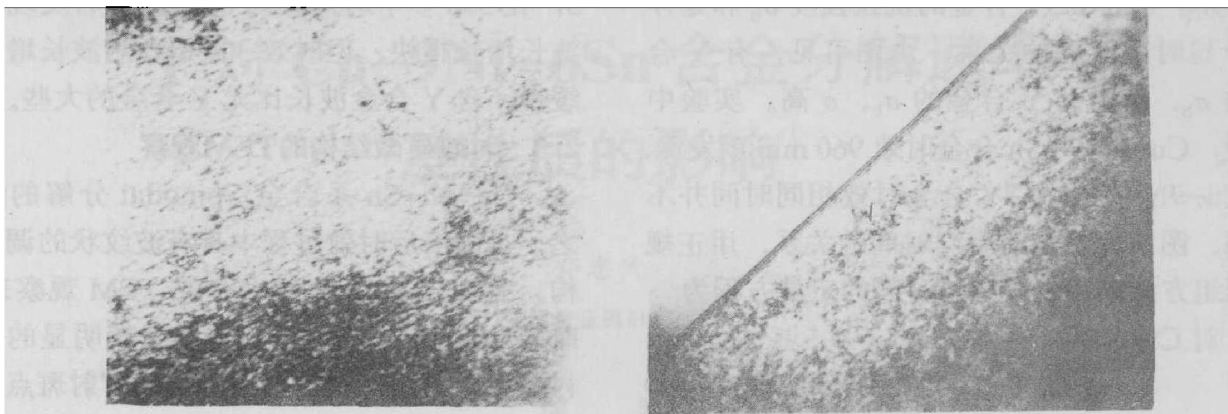
图3 调幅波长( $\lambda$ )与时效时间( $t$ )的关系

1—含Y合金; 2—无Y合金

## 3 讨论

力学性能、电阻率、调幅波长和TEM观察结果表明,含0.3Y的合金,其抗拉强度、延伸率都有所改善,电阻率比无Y合金下降较快;调幅波长有所增加。由上可见,Y加速了Spinodal分解动力学,而且阻碍了第二相的析出。

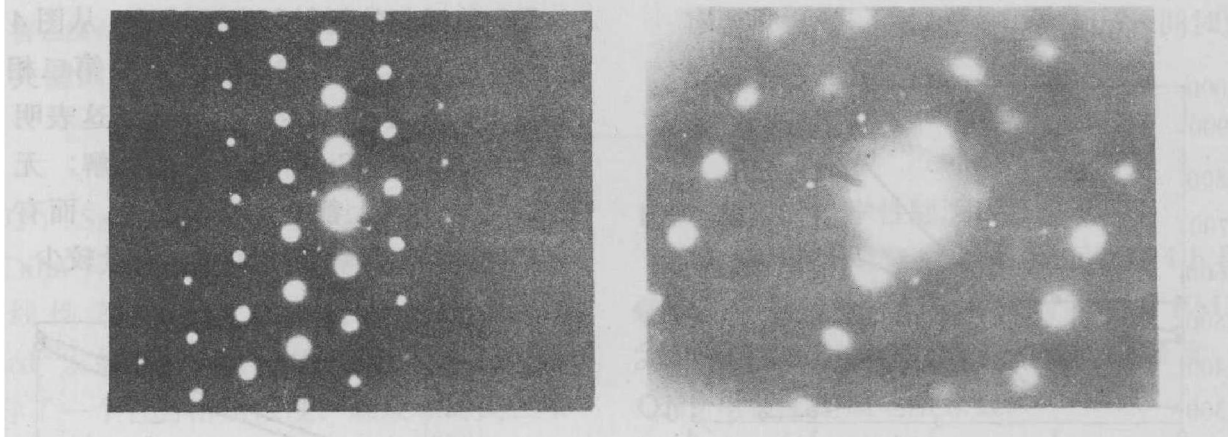
Y对Cu-9Ni-6Sn合金Spinodal分解的作用实质还有待进一步研究。我们推测可能与原子半径有关。所研究合金的各元素原子半径



Cu-9Ni-6Sn (x90 000)

Cu-9Ni-0.3Y (x45 000)

图4 合金的明场象, 时效 60 min



Cu-9Ni-6Sn.  $L\lambda = 20 / \text{mm} \cdot \text{Å}$

Cu-9Ni-6Sn-0.3Y.  $L\lambda = 20 / \text{mm} \cdot \text{Å}$

· 图5 合金的衍射图, 时效 30 min

为:  $r_{\text{Cu}} = 1.276 \text{ Å}$ 、 $r_{\text{Ni}} = 1.243 \text{ Å}$ 、 $r_{\text{Sn}} = 1.58 \text{ Å}$ 、 $r_{\text{Y}} = 1.801 \text{ Å}$ 。X-射线分析表明, Cu-9Ni-6Sn 和 Cu-9Ni-6Sn-0.3Y 都是面心立方点阵, 加入 Y 并没有改变合金的晶体结构。设 Cu 和 Ni 为溶剂, Sn 和 Y 为溶质, 合金中加入 Y 后, Y 便占领了某些溶剂的点阵位置。Friedel<sup>[4]</sup>假定溶剂和溶质都是弹性介质, 且溶剂是各向同性的连续介质。将固溶体的应变能(畸变能)  $W$  认为是形变热( $\Delta H$ ), 则有

$$W = \Delta H = \frac{6\pi\bar{r}\Delta^2}{(1+\alpha)\bar{x}} c(1-c) \quad (3)$$

考虑固溶体的组态熵项, 由(3)式得到固溶体的自由能为

$$F \approx \frac{6\pi\bar{r}\Delta^2}{(1+\alpha)\bar{x}} c(1-c) + KT[c \ln c + (1-c)] \quad (4)$$

式中  $\Delta = r_{\text{B}} - r_{\text{A}}$ ,  $r_{\text{B}}$ 、 $r_{\text{A}}$  分别为溶剂和溶质

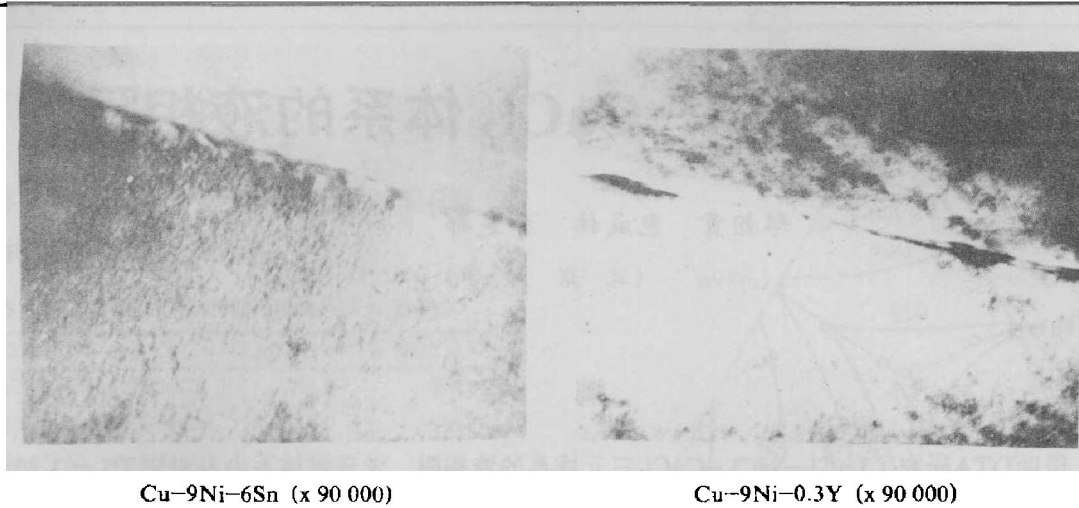
原子半径;  $\alpha = W_{\text{A}} / W_{\text{B}}$ ,  $W_{\text{B}}$ 、 $W_{\text{A}}$  分别是溶质原子和溶剂晶格的总应变能;  $\bar{r}$  是溶质、溶剂原子半径室温下的平均值;  $\bar{x}$  是其平均压缩系数;  $C$  是溶质深度。由于 Y 原子的半径比 Sn 原子的大, Y 加入于 Cu-9Ni-6Sn 合金中, 不仅改变了溶质浓度, 而且因原子尺寸差异引起的点阵畸变对能量贡献增加, 使系统的化学势增加。因而改变了合金的 Spinodal 分解动力学, 即加速其调幅分解。

Wagner<sup>[5]</sup>的理论证明, 调幅波长与时效  $t$  时间的关系可用下式表达:

$$\lambda_3 - \lambda_0^3 = k(t - t_0) \quad (5)$$

式中  $\lambda_0$  是从 0 到  $t_0$  时效期间很少变化或没有变化的调幅波长;  $k$  是常数。

Spooner 和 Lefever<sup>[6]</sup>假设淬火状态时波长为  $\lambda_0$ 、初始时间  $t_0 = 0$ , 则波长与时间的关系为



Cu-9Ni-6Sn (x 90 000)

Cu-9Ni-0.3Y (x 90 000)

图6 合金的晶界析出物 and 分布

$$\lambda^3 - \lambda_0^3 = k t \quad (6)$$

由(6)式按  $\lambda^3$  与  $t$  关系的最小平方求  $k$  和  $\lambda_0$ , 结果呈近似线性关系。这与我们由实验得到的图3所示关系不相符。我们发现时效300 min后,  $\lambda$  与  $t$  的关系才基本符合(6)式。即调幅分解的粗化阶段近似地符合线性方程。

## 4 结论

Y能改变Cu-9Ni-6Sn合金Spinodal分解动力学, 加速调幅分解; 减缓晶界析出物的长大, 提高强度和塑性。用动力学方程表达

Y的作用实质有待进一步研究。

李世琳协助 TEM 分析, 王永能协助 X-射线衍射分析, 谨致谢意。

### 参考文献

- 1 Cahn J W. Acta Met., 1961, 9: 795.
- 2 Detchekandz B *et al.* Acta Met., 1980, 28, 807.
- 3 张美华等. 材料科学进展, 1991, 5(2): 106.
- 4 肖纪美. 合金能量学. 上海: 上海科学技术出版社, 1985.
- 5 Wagner G. Z. Electrochem., 1961, 65: 581.
- 6 Spooner S, *et al.* Metall. Trans., 1980, 11A: 1085.